

Peut-on prévoir le climat du futur avec des statistiques ?

Aurélien Ribes
CNRM - Météo-France and CNRS

Journées MAS, 29 Août 2016

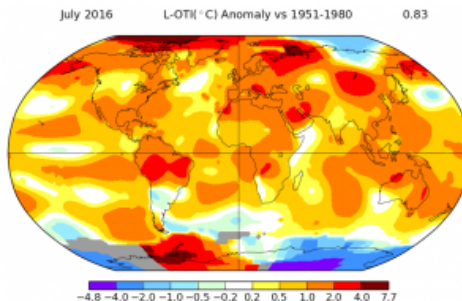


- 1 Introduction - Problématique
- 2 Modèles et inférence statistique
- 3 Problèmes et défis
- 4 Conclusion

Introduction

16 août 2016

Climat : juillet 2016 nouveau record



La série des mois records de chaleur planétaire s'est poursuivie en juillet. C'est ce qu'annonce l'équipe Nasa/Université Columbia de New York. Avec un écart à la moyenne calculée sur la période 1951/1980 de 0,83°C, juillet 2016 détient le nouveau record du mois.

La carte de ces écarts à la

Introduction

16 août 2016

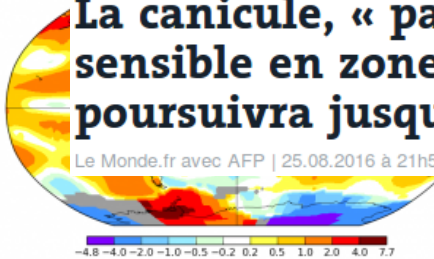
Climat : juillet 2016 nouveau record

July 2016

L-OTI(°C) Anomaly vs 1951-1980

0.83

La série des mois records de



ursuivie
annonce
olumbia
cart à la
période
let 2016
détient le nouveau record du mois.

La carte de ces écarts à la

Introduction

16 août 2016

Climat : juillet 2016 nouveau record

July 2016

L-OTI(°C) Anomaly vs 1951-1980

0.83

La série des mois records de



Le Monde.fr avec AFP | 25.08.2016 à 21h59 • Mis à jour le 26.08.2016 à 09h53

La canicule, « particulièrement
sensible en zone urbaine », se
poursuivra jusqu'à dimanche
détient le nouveau record du mois.

ursuivie
annonce
olumbia
cart à la
période
et 2016

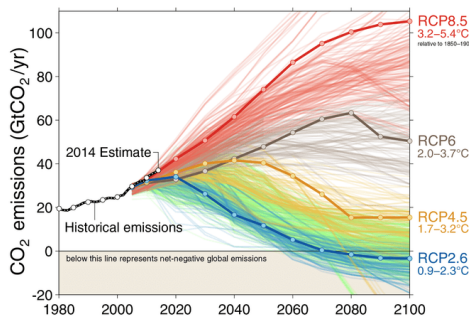
Climat : la chimère du 1,5 °C

LE MONDE | 22.08.2016 à 06h38 • Mis à jour le 22.08.2016 à 11h38 |

Par Stéphane Foucart

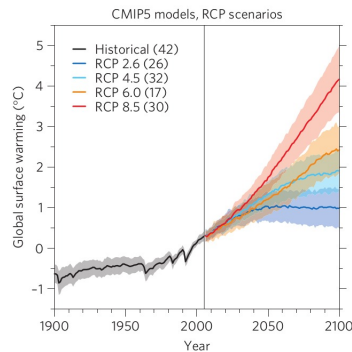
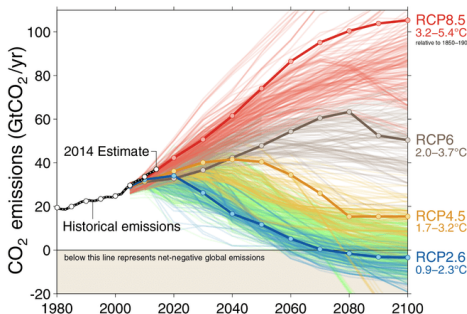
Problématique principale

Décrire le climat de demain, conditionnellement aux émissions de GES



Problématique principale

Décrire le climat de demain, conditionnellement aux émissions de GES

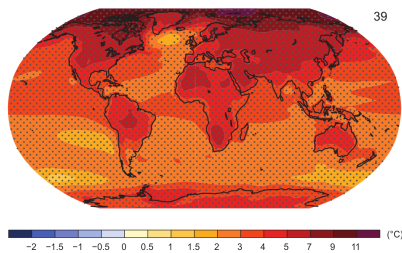


- Notion de sensibilité climatique

Problématique principale (2)

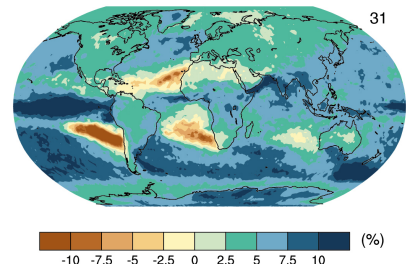
- Question posée identiquement pour d'autres variables, échelles, caractéristiques (e.g. événements extrêmes), etc.

Température moyenne

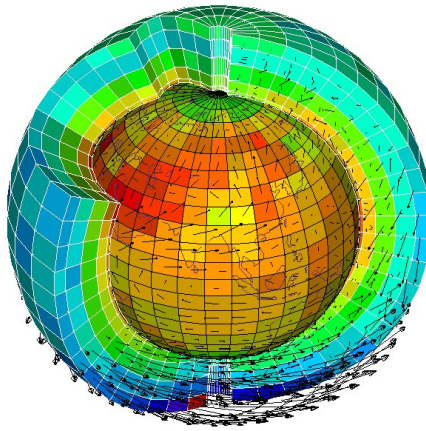


Extremes de précipitations

Daily precipitation 20-yr RV change per 1°C warming



Approche historique : la modélisation



Source : IPSL

Les modèles reposent sur:

- équations physiques
- solutions numériques approchées des EDP (schémas numériques)

Résolution :

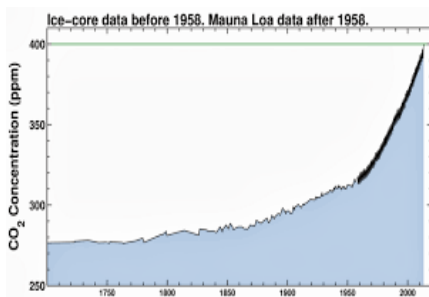
- spatiale (H) ~ 100 km,
- spatiale (V) ~ 500 m,
- temporelle $\sim 15'$.

Résultats :

- nombreux progrès dans la connaissance du CC,
- pas de convergence sur la sensibilité climatique depuis ~ 30 ans.

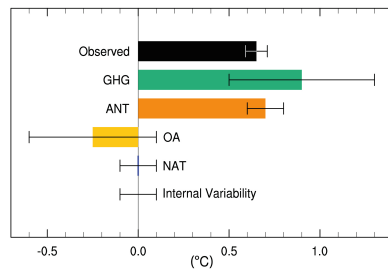
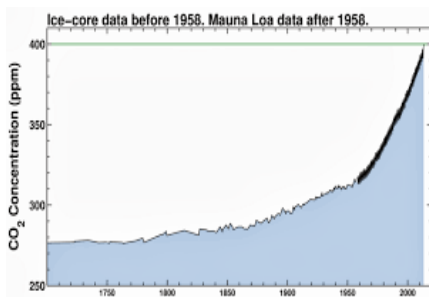
Alternative : les statistiques !

Alternative : étudier les 150 ans de données (observations) disponibles, avec des outils statistiques.



Alternative : les statistiques !

Alternative : étudier les 150 ans de données (observations) disponibles, avec des outils statistiques.



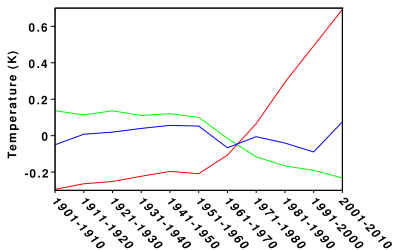
Réchauffement (1951 – 2010) attribuable
à différents forçages externes

Étude des tendances observées de toutes façons nécessaire pour vérifier les résultats des modèles.

Comment distinguer GHG et OA ?

On utilise l'information disponible (modèles) sur leur distribution spatiale / temporelle

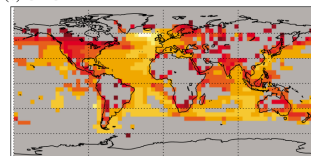
Séries temporelles



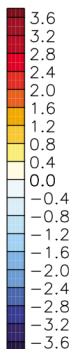
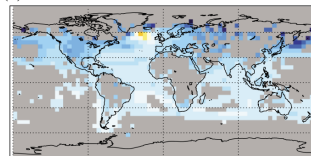
Variations de température moyenne ;
rouge:GHG, bleu:NAT, vert OA (i.e. autres
anthropiques).

Distributions spatiales

(c) GHG



(d) AER



Tendance de réchauffement 1851-2010

1 Introduction - Problématique

2 Modèles et inférence statistique

- OLS
- TLS
- EIV
- Alternative

3 Problèmes et défis

4 Conclusion

Regression based models

$$Y_\ell = \sum_{i=1}^k \beta_i X_\ell^{(i)} + \varepsilon_\ell, \quad Cov(\varepsilon) = \Sigma,$$

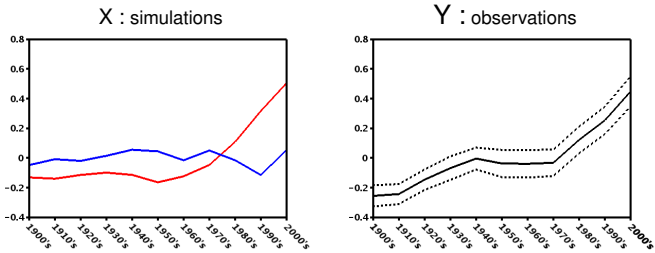
$$\begin{array}{ccccccccc} Y & = & X & \beta & + & \varepsilon, & Cov(\varepsilon) = \Sigma, \\ n \times 1 & & n \times k, & k \times 1 & & n \times 1 & & n \times n \end{array}$$

- ℓ : location (space-time),
- Y : observations (space-time vector),
- β_i : scaling factor (scalar), unknown,
- $X^{(i)}$: expected response to forcing i (space-time vector), known,
- ε : internal variability (space-time vector),
- Σ : IV covariance matrix (matrix).

Regression based models

$$Y_\ell = \sum_{i=1}^k \beta_i X_\ell^{(i)} + \varepsilon_\ell, \quad \text{Cov}(\varepsilon) = \Sigma,$$

$$\begin{array}{lll} Y & = & X \quad \beta \quad + \quad \varepsilon, \\ n \times 1 & & n \times k, \quad k \times 1 \quad n \times 1 \\ & & n \times n \end{array} \quad \text{Cov}(\varepsilon) = \Sigma,$$



Regression based models

$$Y_\ell = \sum_{i=1}^k \beta_i X_\ell^{(i)} + \varepsilon_\ell, \quad \text{Cov}(\varepsilon) = \Sigma,$$

$$\begin{array}{ccccccccc} Y & = & X & \beta & + & \varepsilon, & \text{Cov}(\varepsilon) = \Sigma, \\ n \times 1 & & n \times k, & k \times 1 & & n \times 1 & & n \times n \end{array}$$

General philosophy

- The space-time pattern of the response to each forcing is known (eg GHG, AER),
- We have some uncertainty on the magnitude of the response (eg a factor 3 on climate sensitivity),
- So, based on the pattern, we want to estimate the amplitude of each response, from observations.

OLS

Philosophy: The response patterns X are perfectly known.

$$Y = X\beta + \varepsilon, \quad \varepsilon \sim N(0, \Sigma), \quad (\Sigma \text{ known})$$

Likelihood ($-2 \log$): $\ell_{\text{OLS}}(\beta) = (Y - X\beta)' \Sigma^{-1} (Y - X\beta)$.

Inference

- If Σ known, then multiply by $\Sigma^{-1/2}$!
- $\hat{\beta} = (X'\Sigma^{-1}X)^{-1}X'\Sigma^{-1}Y \sim N(\beta, (X'\Sigma^{-1}X)^{-1})$,
- The issue of how estimating Σ to efficiently approximate $\hat{\beta}$ is uncommon.

1 Introduction - Problématique

2 Modèles et inférence statistique

- OLS
- TLS
- EIV
- Alternative

3 Problèmes et défis

- Grande dimension
- Modélisation de la variabilité interne
- Estimation de grandes matrices de covariance
- Estimer l'incertitude de modélisation

4 Conclusion

TLS model (Allen & Stott, 2003)

Philosophy: Taking into account the internal variability within the climate simulations leading to X .

$$Y = X^* \beta + \varepsilon, \quad \varepsilon \sim N(0, \Sigma) \tag{1}$$

$$X = X^* + \varepsilon_X, \quad \varepsilon_X \sim N(0, \Sigma/n_X) \tag{2}$$

TLS: model and likelihood

TLS model

Regression equation

$$Y^* = X^* \beta$$

One observes

$$\begin{cases} X = X^* + \varepsilon_X, & \text{Cov}(\varepsilon_X) = \Sigma_X \\ Y = Y^* + \varepsilon_Y, & \text{Cov}(\varepsilon_Y) = \Sigma_Y. \end{cases}$$

$$\Sigma_X = \lambda \Sigma_Y.$$

TLS: model and likelihood

TLS model

Regression equation

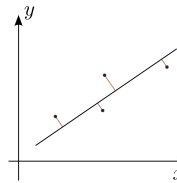
$$Y^* = X^* \beta$$

One observes

$$\begin{cases} X = X^* + \varepsilon_X, & \text{Cov}(\varepsilon_X) = \Sigma_X \\ Y = Y^* + \varepsilon_Y, & \text{Cov}(\varepsilon_Y) = \Sigma_Y. \end{cases}$$

$$\Sigma_X = \lambda \Sigma_Y.$$

$$\ell_{\text{TLS}}(\beta, X^*) = (Y - X^* \beta)' \Sigma_Y^{-1} (Y - X^* \beta) + (X - X^*)' \Sigma_X^{-1} (X - X^*).$$



TLS: model and likelihood

TLS model

Regression equation

$$Y^* = X^* \beta$$

One observes

$$\begin{cases} X = X^* + \varepsilon_X, & \text{Cov}(\varepsilon_X) = \Sigma_X \\ Y = Y^* + \varepsilon_Y, & \text{Cov}(\varepsilon_Y) = \Sigma_Y. \end{cases}$$
$$\Sigma_X = \lambda \Sigma_Y.$$

$$\ell_{\text{TLS}}(\beta, X^*) = (Y - X^* \beta)' \Sigma_Y^{-1} (Y - X^* \beta) + (X - X^*)' \Sigma_X^{-1} (X - X^*).$$

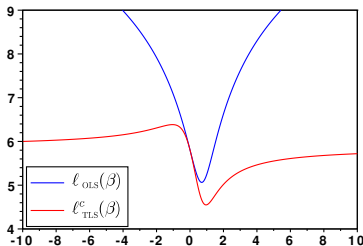
$$\ell_{\text{TLS}}^c(\beta) = \frac{(Y - X\beta)' \Sigma^{-1} (Y - X\beta)}{1 + \beta^2} \quad (\text{assuming } \lambda = 1).$$

Inference

- Estimation : MLE in closed form (SVD of $[Y, X]$),
- CI : asymptotic - too low coverage probability.

TLS: Likelihood

$$\ell_{\text{TLS}}^c(\beta) = \frac{(Y - X\beta)' \Sigma^{-1} (Y - X\beta)}{1 + \beta^2}. \quad (3)$$



If you assume the wrong model

- OLS is "the truth": $\hat{\beta}_{\text{TLS}}$ is not optimal (too much variance),
- TLS is "the truth": $\hat{\beta}_{\text{OLS}}$ is biased toward 0.

1 Introduction - Problématique

2 Modèles et inférence statistique

- OLS
- TLS
- EIV
- Alternative

3 Problèmes et défis

- Grande dimension
- Modélisation de la variabilité interne
- Estimation de grandes matrices de covariance
- Estimer l'incertitude de modélisation

4 Conclusion

EIV model (Huntingford et al., 2006; Hannart et al., 2014)

Philosophy: Taking into account the modeling uncertainty (ie different climate models provide different patterns X or X^*).

Regression equation

$$Y^* = X^* \beta$$

One observes

$$\left\{ \begin{array}{l} Y = Y^* + \underbrace{\varepsilon_Y}_{\varepsilon_Y} \\ X = X^* + \underbrace{\varepsilon_X}_{\varepsilon_X} \end{array} \right.$$

With $\left\{ \begin{array}{l} \text{Cov}(\varepsilon_Y) = \Sigma_Y = \Sigma_{IV}, \quad (\text{I.V.}) \\ \text{Cov}(\varepsilon_X) = \Sigma_X = \Sigma_{IV}, \quad (\text{I.V.}) \end{array} \right.$

EIV model (Huntingford et al., 2006; Hannart et al., 2014)

Philosophy: Taking into account the modeling uncertainty (ie different climate models provide different patterns X or X^*).

Regression equation

$$Y^* = X^* \beta$$

One observes

$$\left\{ \begin{array}{l} Y = Y^* + \underbrace{\varepsilon_Y}_{\varepsilon_Y} \\ X = X^* + \underbrace{\varepsilon_{X,IV} + \varepsilon_{Mod}}_{\varepsilon_X} \end{array} \right.$$

With $\left\{ \begin{array}{ll} \text{Cov}(\varepsilon_Y) = \Sigma_Y = \Sigma_{IV}, & (\text{I.V.}) \\ \text{Cov}(\varepsilon_X) = \Sigma_X = \Sigma_{IV} + \Sigma_{Mod}, & (\text{I.V. + Mod. Uncert.}) \end{array} \right.$

EIV model (Huntingford et al., 2006; Hannart et al., 2014)

Philosophy: Taking into account the modeling uncertainty (ie different climate models provide different patterns X or X^*).

Regression equation

$$Y^* = X^* \beta$$

One observes

$$\left\{ \begin{array}{l} Y = Y^* + \underbrace{\varepsilon_{Y,IV} + \varepsilon_{Obs}}_{\varepsilon_Y} \\ X = X^* + \underbrace{\varepsilon_{X,IV} + \varepsilon_{Mod}}_{\varepsilon_X} \end{array} \right.$$

With $\left\{ \begin{array}{l} \text{Cov}(\varepsilon_Y) = \Sigma_Y = \Sigma_{IV} + \Sigma_{Obs}, \quad (\text{I.V. + Obs. Uncert.}) \\ \text{Cov}(\varepsilon_X) = \Sigma_X = \Sigma_{IV} + \Sigma_{Mod}, \quad (\text{I.V. + Mod. Uncert.}) \end{array} \right.$

EIV model

Regression equation

$$Y^* = X^* \beta$$

Observations

$$\begin{cases} Y = Y^* + \varepsilon_Y, & \text{Cov}(\varepsilon_Y) = \Sigma_Y, \\ X = X^* + \varepsilon_X, & \text{Cov}(\varepsilon_X) = \Sigma_X. \end{cases}$$

Σ_Y and Σ_X have no relationship.

EIV: Likelihood

Regression equation

$$Y^* = X^* \beta$$

Observations

$$\begin{cases} Y = Y^* + \varepsilon_Y, & \text{Cov}(\varepsilon_Y) = \Sigma_Y, \\ X_i = X_i^* + \varepsilon_{X,i}, & \text{Cov}(\varepsilon_{X,i}) = \Sigma_{X,i}. \end{cases}$$

Assuming $k = 1$,

$$\begin{aligned} \ell(\beta, X^*) &= cte + (Y - X^* \beta)' \Sigma_Y^{-1} (Y - X^* \beta) + (X - X^*)' \Sigma_X^{-1} (X - X^*). \\ \ell_c(\beta) &= cte + (Y - X\beta)' (\beta^2 \Sigma_X + \Sigma_Y)^{-1} (Y - X\beta). \end{aligned}$$

No explicit maximum (i.e. MLE) !

Estimation (Hannart et al., 2014)

Philosophy: maximize $\ell(\beta, X^*)$ with a numerical algorithm (MLE).

Estimation: algorithm

- 1. Fix $\hat{\beta}^0$,
- 2i. Compute $\hat{X}_i^* = \text{Argmax}_{X^*} \ell(\hat{\beta}^{i-1}, X^*)$,
- 3i. Compute $\hat{\beta}_i = \text{Argmax}_{\beta} \ell(\beta, \hat{X}_i^*)$,
- 4. When convergence occurs, you have $(\hat{\beta}, \hat{X}^*)$.

Issue(s): may converge to a critical point or local maximum (not necessarily the global maximum, i.e. MLE).

Confidence intervals

Use asymptotic property of MLE.

Issue(s): too low coverage probability (i.e.: too small CI).

1 Introduction - Problématique

2 Modèles et inférence statistique

- OLS
- TLS
- EIV
- Alternative

3 Problèmes et défis

- Grande dimension
- Modélisation de la variabilité interne
- Estimation de grandes matrices de covariance
- Estimer l'incertitude de modélisation

4 Conclusion

Motivation: Is linear regression suitable?

$$Y = \sum_{i=1}^k \beta_i X_i + \varepsilon$$

- Assumes that
 - models are able to simulate response patterns,
 - response magnitudes are unknown.

Motivation: Is linear regression suitable?

$$Y = \sum_{i=1}^k \beta_i X_i + \varepsilon$$

- Assumes that
 - models are able to simulate response patterns,
 - response magnitudes are unknown.
- The reality is probably more balanced

A new possible approach (Ribes et al., 2016)

$$\begin{cases} Y = Y^* + \varepsilon_Y, & \varepsilon_Y \sim N(0, \Sigma_Y), \\ X_i = X_i^* + \varepsilon_{X_i}, & \varepsilon_{X_i} \sim N(0, \Sigma_{X_i}), \quad i = 1, \dots, k, \end{cases}$$

A new possible approach (Ribes et al., 2016)

$$Y^* = \sum_{i=1}^k X_i^*,$$

$$\begin{cases} Y = Y^* + \varepsilon_Y, & \varepsilon_Y \sim N(0, \Sigma_Y), \\ X_i = X_i^* + \varepsilon_{X_i}, & \varepsilon_{X_i} \sim N(0, \Sigma_{X_i}), \quad i = 1, \dots, k, \end{cases}$$

A new possible approach (Ribes et al., 2016)

$$Y^* = \sum_{i=1}^k X_i^*,$$

$$\begin{cases} Y = Y^* + \varepsilon_Y, & \varepsilon_Y \sim N(0, \Sigma_Y), \\ X_i = X_i^* + \varepsilon_{X_i}, & \varepsilon_{X_i} \sim N(0, \Sigma_{X_i}), \quad i = 1, \dots, k, \end{cases}$$

- Interpretation: models give information on each term X_i^* , then an additional constraint on their sum comes from observations.
- Bayesian perspective:
 - Prior on each X_i^* , derived from models,
 - Posterior after constraining the sum by observations.
- All inference can be made with maximum likelihood

$$\widehat{X}_i^* = X_i + \Sigma_{X_i}(\Sigma_Y + \Sigma_X)^{-1}(Y - X) \sim N(X_i, \Sigma_{\widehat{X}_i^*}).$$

1 Introduction - Problématique

2 Modèles et inférence statistique

3 Problèmes et défis

- Grande dimension
- Modélisation de la variabilité interne
- Estimation de grandes matrices de covariance
- Estimer l'incertitude de modélisation

4 Conclusion

Grande dimension des données

Jeu de donnée climatique typique (e.g. température de surface)

- Dimension spatiale : $5^\circ \times 5^\circ \sim 2600$ points de grille,
- Dimension temporelle : 50 - 100 ans (période instrumentale),
- Dimension de $Y \sim 10^5$.
- Autre possibilités : cycle annuel, cycle diurne, autres variables...

Grande dimension des données

Jeu de donnée climatique typique (e.g. température de surface)

- Dimension spatiale : $5^\circ \times 5^\circ \sim 2600$ points de grille,
- Dimension temporelle : 50 - 100 ans (période instrumentale),
- Dimension de $Y \sim 10^5$.
- Autre possibilités : cycle annuel, cycle diurne, autres variables...

Cycle annuel, cycle diurne, autres variables...

Grande dimension des données

Jeu de donnée climatique typique (e.g. température de surface)

- Dimension spatiale : $5^\circ \times 5^\circ \sim 2600$ points de grille,
- Dimension temporelle : 50 - 100 ans (période instrumentale),
- Dimension de $Y \sim 10^5$.
- Autre possibilités : cycle annuel, cycle diurne, autres variables...

Cycle annuel, cycle diurne, autres variables...

Question : quelle(s) variable(s) regarder, quelle période / région, etc ?

Decreasing the dimension (or pre-processing)

Statistical investigation of climate at the global scale requires to reduce the spatio-temporal dimension of datasets.

- Decadal means,
- Projection on spherical harmonics (e.g. truncation T4, \sim spatial scales > 5000 kms),
- Use of simple climate indices (global mean, land-sea contrast, inter-hemispheric contrast, annual cycle, etc).
- Projection on PCs,

This treatment is quite arbitrary and non optimal.

1 Introduction - Problématique

2 Modèles et inférence statistique

- OLS
- TLS
- EIV
- Alternative

3 Problèmes et défis

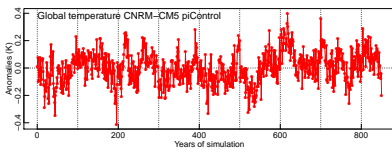
- Grande dimension
- **Modélisation de la variabilité interne**
- Estimation de grandes matrices de covariance
- Estimer l'incertitude de modélisation

4 Conclusion

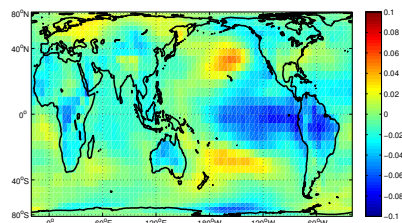
Comment modéliser la variabilité interne ?

Quelques illustrations de la variabilité interne :

Temporel



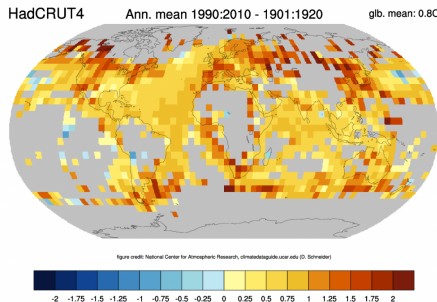
Spatial



Comment modéliser la variabilité interne ?

Quelques illustrations de la variabilité interne :

Variations du réseau d'observation



Observational coverage in the early 20th century.

Pas de modélisation statistique spatio-temporelle simple !

1 Introduction - Problématique

2 Modèles et inférence statistique

- OLS
- TLS
- EIV
- Alternative

3 Problèmes et défis

- Grande dimension
- Modélisation de la variabilité interne
- Estimation de grandes matrices de covariance**
- Estimer l'incertitude de modélisation

4 Conclusion

Problem statement

- Most inference methods assume that Σ is known.
(and the full distribution of the internal variability ε).
- Usually, climate models are used to derive a few realisations of ε , say $\varepsilon_1, \dots, \varepsilon_p$.
- The distribution, or at least, $\Sigma = \text{Cov}(\varepsilon)$ is estimated from these.
- Optimal statistics requires to estimate Σ^{-1}
(eg $\widehat{\beta}_{OLS} = (X'\Sigma^{-1}X)^{-1}X'\Sigma^{-1}Y$).

This is very challenging in high dimension.

Estimation of Σ in large dimension

Let us assume that $\varepsilon_1, \dots, \varepsilon_p \sim N(0, \Sigma)$ are available for estimating Σ ($n \times n$).

Estimation of Σ in large dimension

Let us assume that $\varepsilon_1, \dots, \varepsilon_p \sim N(0, \Sigma)$ are available for estimating Σ ($n \times n$).

What about $\widehat{\Sigma}$?

The sample estimate $\widehat{\Sigma}$ is a poor estimator of Σ in large dimension (n close to p).

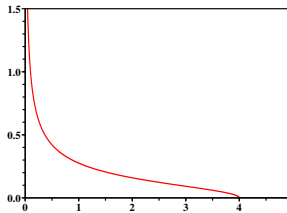
Estimation of Σ in large dimension

Let us assume that $\varepsilon_1, \dots, \varepsilon_p \sim N(0, \Sigma)$ are available for estimating Σ ($n \times n$).

What about $\widehat{\Sigma}$?

The sample estimate $\widehat{\Sigma}$ is a poor estimator of Σ in large dimension (n close to p).

Illustration : case $\Sigma = I$, distribution of the eigenvalues of $\widehat{\Sigma}$ when $n, p \rightarrow \infty$ (Marčenko-Pastur distribution).



Regularising Σ (1)

Principle

Principle

We use an estimator of Σ such as

$$\tilde{\Sigma} = \gamma \hat{\Sigma} + \rho I.$$

Regularising Σ (1)

Principle

Principle

We use an estimator of Σ such as

$$\tilde{\Sigma} = \gamma \hat{\Sigma} + \rho I.$$

LW estimate (Ledoit & Wolf, 2004)

- Introduction of estimators $\hat{\gamma}, \hat{\rho}$ of γ, ρ to minimise the mean square error

$$E \left(\|\tilde{\Sigma} - \Sigma\|_{\mathcal{M}}^2 \right).$$

- $\hat{\Sigma}_I = \hat{\gamma} \hat{\Sigma} + \hat{\rho} I.$

Regularising Σ (1)

Principle

Principle

We use an estimator of Σ such as

$$\tilde{\Sigma} = \gamma \hat{\Sigma} + \rho I.$$

LW estimate (Ledoit & Wolf, 2004)

- Introduction of estimators $\hat{\gamma}, \hat{\rho}$ of γ, ρ to minimise the mean square error

$$E \left(\|\tilde{\Sigma} - \Sigma\|_{\mathcal{M}}^2 \right).$$

$$\hat{\Sigma}_I = \hat{\gamma} \hat{\Sigma} + \hat{\rho} I.$$

New estimator (Ribes et al., 2009)

$$\hat{\beta}_I = (X' \hat{\Sigma}_I^{-1} X)^{-1} X' \hat{\Sigma}_I^{-1} Y.$$

Integrated Optimal Fingerprinting approach

- Regularization with a target $\Delta \neq I$ (Hannart et Naveau, 2014, JMVA).
 Use of a Bayesian prior: $\Sigma \sim \mathcal{W}^{-1}(\Delta, \alpha)$ (centered on Δ),
 Derive estimators $\hat{\rho}_1, \hat{\rho}_2$ leading to $\tilde{\Sigma}_{\Delta} = \hat{\rho}_1 \hat{\Sigma} + \hat{\rho}_2 \Delta$.
- Estimation of Σ (and therefore Σ^{-1}) and β in a joint statistical framework (Hannart, 2016, JClim).
 Uncertainty on Σ is partly taken into account in the estimation and CI on β .

$$\hat{\beta}_{\Delta} = (X' \hat{\Sigma}_{\Delta}^{-1} X)^{-1} X' \hat{\Sigma}_{\Delta}^{-1} Y.$$

1 Introduction - Problématique

2 Modèles et inférence statistique

- OLS
- TLS
- EIV
- Alternative

3 Problèmes et défis

- Grande dimension
- Modélisation de la variabilité interne
- Estimation de grandes matrices de covariance
- Estimer l'incertitude de modélisation**

4 Conclusion

Estimer l'incertitude de modélisation

- Ensemble de modèles de taille limitée (~ 30 , contrainte sur la dimension),
- Modèles non-indépendants (développements communs), plutôt *Ensemble d'opportunité*,
- Modèles trop couteux pour utiliser les techniques classiques de quantification de l'incertitude,
- Approche la plus répandue : considérer la dispersion des modèles,
“models (m_i) are stat. indistinguishable from the truth (m^*)”, i.e.

$$(m_i - m_j) \sim N(0, 2\Sigma_m), \quad (m_i - m^*) \sim N(0, 2\Sigma_m),$$

Estimer l'incertitude de modélisation

- Ensemble de modèles de taille limitée (~ 30 , contrainte sur la dimension),
- Modèles non-indépendants (développements communs), plutôt *Ensemble d'opportunité*,
- Modèles trop couteux pour utiliser les techniques classiques de quantification de l'incertitude,
- Approche la plus répandue : considérer la dispersion des modèles,
“models (m_i) are stat. indistinguishable from the truth (m^*)”, i.e.

$$(m_i - m_j) \sim N(0, 2\Sigma_m), \quad (m_i - m^*) \sim N(0, 2\Sigma_m),$$

ou écrit différemment (μ : espérance de la population des modèles)

$$(m_i - \mu) \sim N(0, \Sigma_m), \quad (\mu - m^*) \sim N(0, \Sigma_m)$$

- 1 Introduction - Problématique
- 2 Modèles et inférence statistique
- 3 Problèmes et défis
- 4 Conclusion

Conclusions

- Un grand nombre de modèles et méthodes statistiques utilisées en sciences du climat.
- De nombreux défis :

climat : estimation du réchauffement induit par les GES dans le passé,
stats : gestion de la grande dimension, modélisation spatio-temporelle,
quantification d'incertitude / design.
- Cela ne concerne pas que la température moyenne globale.
- Autres interactions entre climat et statistiques, notamment théorie des valeurs extrêmes, attribution d'événements singuliers.